

Universidade Federal do Rio Grande do Sul
Escola de Engenharia
Programa de Pós-Graduação em Engenharia Civil

**COMPORTAMENTO DE TÚNEIS ESCAVADOS
EM MEIOS VISCOPLÁSTICOS COM RUPTURA
- SIMULAÇÃO NUMÉRICA**

Felipe Pinto da Motta Quevedo

Porto Alegre
2021

FELIPE PINTO DA MOTTA QUEVEDO

**COMPORTAMENTO DE TÚNEIS ESCAVADOS EM MEIOS
VISCOPLÁSTICOS COM RUPTURA - SIMULAÇÃO
NUMÉRICA**

Tese de Doutorado apresentada ao Programa de Pós-Graduação
em Engenharia Civil da Universidade Federal do Rio Grande do
Sul como parte dos requisitos para obtenção do título de Doutor
em Engenharia.

Porto Alegre
2021

CIP - Catalogação na Publicação

de Tal, Fulano
Título Completo da Dissertação ou Tese / Fulano de
Tal. -- 201X.
XX f.
Orientador: Nome do Orientador.

Tese (Doutorado) -- Universidade Federal do Rio
Grande do Sul, Escola de Engenharia, Programa de
Pós-Graduação em Engenharia Civil, Porto Alegre,
BR-RS, 201X.

1. palavra. 2. chave. 3. coloca. 4. aqui. I. do
Orientador, Nome, orient. II. Título.

ERRATA

QUEVEDO, F. P. M. **Comportamento de Túneis Escavados em Meios Viscopoplásticos com Ruptura - Simulação Numérica**. 2021. 38p. Tese (Doutorado em Engenharia) – Programa de Pós-Graduação em Engenharia Civil, Universidade Federal do Rio Grande do Sul, Porto Alegre.

Folha	Linha	Onde se lê	Leia-se
1	10	auto-conclavo	autoconclavo

FELIPE PINTO DA MOTTA QUEVEDO

**COMPORTAMENTO DE TÚNEIS ESCAVADOS EM MEIOS
VISCOPLÁSTICOS COM RUPTURA - SIMULAÇÃO
NUMÉRICA**

Esta tese de doutorado foi julgada adequada para a obtenção do título de DOUTOR EM ENGENHARIA, na área de concentração Estruturas, e aprovada em sua forma final pelo professor orientador e pelo Programa de Pós-Graduação em Engenharia Civil da Universidade Federal do Rio Grande do Sul.

Porto Alegre, 07 de março de 2021

Prof. Samir Maghous
Dr. pela École Nationale des Ponts et Chaussées
Orientador

Profa. Denise Bernaud Maghous
Dra. pela École Nationale des Ponts et
Chaussées
Coorientadora

Nilo Consoli
Ph.D. pela Concordia University, Canadá
Coordenador do PPGEC/UFRGS

BANCA EXAMINADORA

Prof. Américo Campos Filho (UFRGS)
Dr. pela Escola Politécnica da Universidade de São Paulo

Prof. Mauro de Vasconcellos Real (FURG)
Dr. pela Universidade Federal do Rio Grande do Sul

Prof. Severino Pereira Cavalcanti Marques (UFRGS)
Dr. pela Universidade Federal do Rio Grande do Sul

Este trabalho é dedicado a minha mãe que foi meu principal suporte esse tempo todo.

AGRADECIMENTOS

Agradeço ao Conselho Nacional de Desenvolvimento Científico Tecnológico (CNPq) pela oportunidade de estudar com bolsa durante esse doutorado, sem a qual, não seria possível minha dedicação nesse período de 4 anos.

Agradeço à UFRGS pela infraestrutura cedida, por possibilitar acesso à biblioteca e a artigos nacionais e internacionais gratuitamente, além da oportunidade de cursar esse doutorado na área de Estruturas com destacados colegas e professores.

Agradeço a todo o corpo docente e administrativo do Programa de Pós-Graduação em Engenharia Civil (PPGEC) pelo apoio e momentos de aprendizado durante esses anos todos.

Agradeço aos professores Inácio Benvegna Morsch, Roberto Rios, Luiz Alberto Segovia e Américo Campos Filho pela força, conselhos e conversas, não só durante o doutorado, mas desde minha graduação.

Agradeço aos meus orientadores Samir Maghous e Denise Bernaud por me acolherem como orientando, me apresentarem sobre o tema, por compartilharem seu conhecimento com a paciência devida e pelo engajamento desenvolvido neste trabalho. Agradeço à vocês também a oportunidade de desenvolver meu estágio Docente.

Agradeço aos meus colegas pela companhia alegre e compartilhamento de conhecimento durante esses quatro anos: Augusto Bopsin Borges, Bárbara Chagas, Barbara Sanches, Betina Jansen, Bianca Funk, Bibiana Rossato, Bruna Spricigo, Caio..., Cássio..., Chepel, Dani Airão, Eduardo..., Eduardo Titello, Evandro..., Gabi Bianchini, Giancarlo Machado, Gustavo Ribeiro, Kellyn Pufall, Lúcia Sangali, Marcela..., Matheus Benincá, Matheus Forcelini, Matheus Wanglon, Miguelito, Paulo Baumbach, Raiza Guimarães, Rodrigo..., Rodrigo Benites Mendes, Rosi, Tonin,...

Agradeço ao suporte técnico da Engineering Simulation and Scientific Software (ESSS) pela assistência ferente às dúvidas relacionadas à utilização e customização do ANSYS.

Agradeço ao pessoal da Estádio 3, meus ex-companheiros de trabalho, não só pelo que me ensinaram, mas também pelo apoio na minha decisão de seguir esse período acadêmico na minha vida.

Agradeço aos meus amigos Rubens Salabarry e Fernanda Ribas Tweedi pela honra da companhia em momentos de tempestades.

Agradeço a minha mãe Luzia e minha irmã Rita por estarem sempre perto de mim, confiando e

incentivando os meus estudos, apesar de todas as dificuldades.

Em algum lugar, algo incrível está esperando para ser descoberto.

Carl Sagan

RESUMO

QUEVEDO, F. P. M. **Comportamento de Túneis Escavados em Meios Viscoplasticos com Ruptura - Simulação Numérica**. 2021. 38p. Tese (Doutorado em Engenharia) – Programa de Pós-Graduação em Engenharia Civil, Universidade Federal do Rio Grande do Sul, Porto Alegre.

O projeto e verificação estrutural de túneis profundos envolvem diversos parâmetros geotécnicos bem como a necessidade de prever a convergência (fechamento) e intuir a estabilidade da seção do túnel. Contudo, o campo de deformações e tensões ao redor da cavidade depende de diversos fatores inter-relacionados, tais como, a profundidade, a geometria da seção, a anisotropia das tensões in situ, a heterogeneidade do maciço, o processo construtivo e a interação com o revestimento. Somado a essa complexidade a reologia do maciço é um fator crucial. A rigor o comportamento do maciço é composto por uma parcela instantânea (elástica ou elastoplástica) e diferida (viscosa). O objetivo principal dessa tese é formular, programar e validar, no contexto dos elementos finitos, um modelo constitutivo elastoplástico-viscoplastico geral capaz de reproduzir casos da realidade e permitir estudos sobre esse comportamento. Para a parcela instantânea serão adotados modelos elastoplásticos de Drucker-Prager e Mohr-Coulomb (bem como suas simplificações independentes da pressão, von-Mises e Tresca, respectivamente) com lei endurecimento e amolecimento multilinear governada pela variável interna coesiva. Já o comportamento diferido será estudado através de um modelo viscoplastico perfeito conforme a teoria da sobretensão de Perzyna com as mesmas superfícies da elastoplasticidade. A solução em estado plano de deformações, axissimetria e tridimensional será programada em Fortran90. O processo de escavação e colocação do revestimento é simulado através do método de ativação e desativação dos elementos finitos.

Palavras-chave: *túneis profundos, elastoplasticidade, viscoplasticidade, método dos elementos finitos, leis constitutivas.*

ABSTRACT

QUEVEDO, F. P. M. **Comportamento de Túneis Escavados em Meios Viscoplasticos com Ruptura - Simulação Numérica**. 2021. 38p. Tese (Doutorado em Engenharia) – Programa de Pós-Graduação em Engenharia Civil, Universidade Federal do Rio Grande do Sul, Porto Alegre.

The design and structural verification of deep tunnels involves several geotechnical parameters as well as the need to predict convergence (closure) and intuit the stability of the tunnel section. However, the field of deformations and stresses around the cavity depends on several interrelated factors, such as depth, section geometry, in situ stress anisotropy, rockmass heterogeneity, constructive process and lining interaction. Added to this complexity the rheology of the rockmass is a crucial factor. The behavior of the rockmass is composed of an instantaneous (elastic or elastoplastic) and time dependent (viscous) portion. The main objective of this thesis is to formulate, program and validate, in the context of finite elements method, a general elastoplastic-viscoplastic constitutive model capable of reproducing cases of reality and allowing studies on this behavior. For the instantaneous part will be adopted elastoplastic models for Drucker-Prager and Mohr-Coulomb (as well as their independent pressure simplifications, von-Mises and Tresca, respectively) with multilinear law hardening/softening governed by the cohesive internal variable. The time dependent behavior will be studied through a perfect viscoplastic model according to Perzyna's overstress theory with the same surfaces of elastoplasticity. The plane deformation state, axisymmetry and three-dimensional states will be programmed in Fortran 90. The process of excavation and placement of the lining is simulated through the method of activation and deactivation of finite elements.

Keywords: *deep tunnels. elastoplasticity. viscoplasticity. finite element method. constitutive laws.*

LISTA DE FIGURAS

Figura 1.1 – Redução da seção transversal do Túnel de Base Lyon Turin na fronteira entre França e Itália (fonte: Barla, Bonini e Debernardi (2010, p. 41))	20
Figura 1.2 – Ruptura do suporte (perfil de aço) em uma mina de carvão na China (fonte: Manchao et al. (2015, p. 192))	20
Figura 2.1 – Organograma das etapas da pesquisa	26
Figura 3.1 – Métodos de escavação de túneis	27
Figura 3.2 – (a) <i>Cut and Cover</i> e (b) <i>Cover and Cut</i> (adaptado de: FEDERAL HIGHWAY ADMINISTRATION (U.S.) (2009, p. 5-2))	28
Figura 3.3 – Etapa de execução pelo método de vala recoberta direta no projeto <i>Nordhavnsvej</i> , em Copenhague, Dinamarca (fonte: ROADTRAFFIC-TECHNOLOGY (2017, p. 1))	28
Figura 3.4 – Superior à esquerda: escavadeiras (fonte: Pierrat (2014, p. 1)); superior à direita: escarificadora; inferior à esquerda: escavadeira rotativa (fonte: Mitterndorfer (2013, p. 1)) e inferior à direita: martelo hidráulico (fonte: WORD HIGHWAYS (2015, p. 1))	29
Figura 3.5 – Sequência executiva do método de construção por desmonte de rocha (adaptado de: Heiniö (1999, p. 215))	30
Figura 3.6 – Superior à esquerda: perfuração; inferior à esquerda: instalação das cargas; à direita: frente de escavação após detonação (fonte: Grad (2013, p. 1)) . .	30
Figura 3.7 – Representação 3D de uma tuneladora (fonte: Chapman, Metje e Stärk (2018, p. 151))	31
Figura 3.8 – Ilustração do método de cravação de tubos sob um canal (adaptado de: Chapman, Metje e Stärk (2018, p. 227))	32
Figura 3.9 – À esquerda: vista de cima de um poço de macacos hidráulicos com a descida da TBM; à direita: vista frontal do túnel (adaptado de: Chapman, Metje e Stärk (2018, p. 227))	32

LISTA DE QUADROS

LISTA DE TABELAS

LISTA DE ABREVIATURAS E SIGLAS

ABNT	Associação Brasileira de Normas Técnicas
abnTeX	ABsurdas Normas para TeX

LISTA DE SÍMBOLOS

Γ	Letra grega Gama
Λ	Lambda
ζ	Letra grega minúscula zeta
\in	Pertence

SUMÁRIO

1	INTRODUÇÃO	19
2	DIRETRIZES DA PESQUISA	23
2.1	TEMA	23
2.2	METODOLOGIA	23
2.3	OBJETIVOS	23
2.4	DELIMITAÇÕES	24
2.5	DELINEAMENTO	25
3	ESTADO DA ARTE	27
3.1	MÉTODOS DE ESCAVAÇÃO	27
3.1.1	Vala recoberta	28
3.1.2	Escavação simples	29
3.1.3	Desmonte de rocha	29
3.1.4	Tuneladora	30
3.1.5	Cravação de tubos	31
3.2	PRÉ-SUPORTES	33
3.3	REVESTIMENTO DE TÚNEIS	33
3.4	PRINCIPAIS ASPECTOS CONSIDERADOS EM ESTUDOS NUMÉRICOS RECENTES DE TÚNEIS	33
4	COMPORTAMENTO MECÂNICO DE TÚNEIS	34
4.1	INFLUÊNCIA DA ESCAVAÇÃO E O CONCEITO DE CON- VERGÊNCIA	34
4.2	MECANISMOS DE RUPTURA EM TÚNEIS PROFUNDOS	34

4.3	INFLUÊNCIA DA REOLOGIA DO MACIÇO	34
4.3.1	Comportamento instantâneo	34
4.3.2	Comportamento diferido no tempo	34
4.3.3	Alguns estudos considerando leis elastoplásticas e visco-plásticas	34
4.4	INFLUÊNCIA DA FORMA DA SEÇÃO	34
4.5	INFLUÊNCIA DA PROFUNDIDADE DO TÚNEL	34
4.6	INFLUÊNCIA DA PROXIMIDADE DA SUPERFÍCIE	34
4.7	INFLUÊNCIA DO REVESTIMENTO E PARÂMETROS ADIMENSIONAIS	34
4.8	MÉTODO CONVERGÊNCIA-CONFINAMENTO	34
5	MODELO MECÂNICO	35
5.1	EQUAÇÕES DE EQUILÍBRIO LOCAL E A HIPÓTESE DA EVOLUÇÃO QUASE ESTÁTICA	35
5.2	ADMISSIBILIDADE ESTÁTICA, NATUREZA EULERIANA DO CAMPO DE TENSÕES, TRANSFORMAÇÃO GEOMÉTRICA E MEDIDA DE DEFORMAÇÃO	35
5.3	HIPÓTESE DAS PEQUENAS PERTURBAÇÕES E A DESCRIÇÃO LAGRANGEANA	35
5.4	MODELO CONSTITUTIVO ELÁSTICO	35
5.5	MODELO CONSTITUTIVO ELASTOPLÁSTICO	35
5.6	MODELO CONSTITUTIVO VISCOPLÁSTICO	35
5.7	MODELO CONSTITUTIVO ELASTOPLÁSTICO-VISCOPLÁSTICO	35
6	SOLUÇÃO DO MODELO MECÂNICO	36
6.1	FORMA FRACA DAS EQUAÇÕES DE CAMPO	36
6.2	NOTAÇÃO DE VOIGT	36

6.3	DISCRETIZAÇÃO ESPACIAL EM ELEMENTOS FINITOS . .	36
6.4	SOLUÇÃO DO SISTEMA E DISCRETIZAÇÃO TEMPORAL	36
6.5	ALGORITMO DE ATUALIZAÇÃO DAS TENSÕES E VARIÁ- VEIS INTERNAS	36
6.5.1	Integração das equações constitutivas elastoplásticas . . .	36
6.5.1.1	Esquema de integração totalmente implícito	36
6.5.1.2	Esquema de integração semi-implícito	36
6.5.2	Atualização do módulo constitutivo	36
6.5.3	Particularizando para estado plano de deformações e axis- simetria	36
6.5.4	Domínios, discretização, condições de contorno e ciclo construtivo para os modelos de verificação	36
REFERÊNCIAS		37

1 INTRODUÇÃO

Os túneis são grandes obras de engenharia que, além de causar grande admiração, atendem a diversas finalidades, sendo a mais conhecida a de transpor barreiras geológicas, como por exemplo, montanhas e canais marítimos, trazendo maior eficiência no transporte de recursos e pessoas. Também devido à crescente preocupação com o meio ambiente e com a preservação da superfície, essas estruturas têm sido cada vez mais empregadas em grandes cidades, melhorando assim a mobilidade urbana como, por exemplo, em metrô e servindo de suporte para serviços públicos, tais como redes de água, esgoto, gás e eletricidade. São também empregados em hidroelétricas, laboratórios subterrâneos e instalações profundas para armazenamento de material radioativo.

Há, no entanto, um risco intrínseco associado a essas grandes obras, uma vez que o subsolo é em grande parte desconhecido e possui um comportamento complexo. Apesar da maioria dessas construções serem finalizadas com sucesso, ocorrem incidentes que levam a atrasos, a custos excessivos e, em alguns casos, a consequências mais significativas, tais como, danos em patrimônios de terceiros e perdas de vidas. Esses imprevistos estão relacionados a uma série de fatores que vão desde incertezas geológicas, cálculos inadequados, processo construtivo inapropriado e insuficiente monitoramento das deformações in loco. Não obstante, uma parte destes acidentes está relacionada com a dificuldade em prever e modelar o comportamento mecânico dessas grandes obras.

Um dos comportamentos de difícil modelagem e ainda estudado é justamente a interação entre o comportamento instantâneo e o diferido dessas estruturas. Este comportamento pode ter um impacto significativo nas deformações e estabilidade da cavidade. A plastificação no entorno do maciço, o fechamento gradual da seção do túnel, a extrusão da face de escavação e a sobrecarga sobre o revestimento podem se desenvolver ao longo do tempo construtivo (no curto prazo), ou ainda, meses e anos após a construção do túnel (no longo prazo), podendo levar a deformações excessivas (Figura 1.2), danos ao revestimento (Figura 1.2) e, em alguns casos, devido a magnitude dos efeitos, acarretar no colapso da região no entorno do túnel.



Figura 1.1 – Redução da seção transversal do Túnel de Base Lyon Turin na fronteira entre França e Itália (fonte: Barla, Bonini e Debernardi (2010, p. 41))



Figura 1.2 – Ruptura do suporte (perfil de aço) em uma mina de carvão na China (fonte: Manchao et al. (2015, p. 192))

Além da estabilidade da cavidade, a tecnologia escolhida para escavação é altamente influenciada pela magnitude dessa condição diferida no tempo. Por exemplo, em escavações com tuneladoras (TBM - *Tunnel Boring Machines*), as pressões que se desenvolvem sobre a blindagem podem causar uma série de dificuldades como o aprisionamento da máquina (tal como pode ser visto

em Ramoni e Anagnostou (2010a, 2010b)). Sabe-se também que suportes flexíveis ou que apresentam um comportamento diferido no tempo (perfis metálicos deslizantes ou concreto projetado) são mais adequados do que suportes rígidos, uma vez que permitem um certo grau de acomodação dessas deformações diferidas.

Muitos estudos consideram leis constitutivas empírico-experimentais, viscoelásticas ou ainda viscoplásticas em suas análises diferidas no tempo, contudo, todos esses modelos partem de um comportamento instantâneo elástico o que pode não corresponder com a realidade, uma vez que o maciço pode possuir um comportamento instantâneo elastoplástico.

Em vista da importância do tema para a comunidade geotécnica de túneis, a presente tese buscará estudar e modelar o comportamento diferido no tempo, considerando um modelo viscoplástico, conjuntamente com o comportamento instantâneo dado por um modelo elastoplástico.

Além dessa introdução, esse trabalho está dividido em mais 7 capítulos.

O **capítulo 2** tem a finalidade de esclarecer o mais objetivamente possível o que se pretende desenvolver nessa tese, explicitando o tema, os objetivos que se pretende alcançar, as delimitações que serão adotadas e o delineamento de como se dará o trabalho.

O **capítulo 3** foi introduzido com o intuito de apresentar brevemente alguns aspectos do estado da arte de túneis. Portanto, esse capítulo resume brevemente os métodos de escavação, tipos de pré-suportes, revestimentos e principais aspectos considerados em estudos numéricos recentes. Portanto, esse capítulo é opcional aos leitores mais experientes e pode ser ignorado sem prejuízo ao entendimento do trabalho restante.

O **capítulo 4** tem por finalidade instruir o leitor no comportamento mecânico de túneis e seus conceitos fundamentais. Esse capítulo está dividido de acordo com os principais fatores que influenciam o campo de tensões e deformações no entorno dessas estruturas, tais como, o processo de escavação, o comportamento reológico do maciço, a forma da seção, a profundidade do túnel, a proximidade da superfície e a interação com o revestimento. Nesse capítulo será dada uma maior ênfase na reologia do maciço, caracterizando o comportamento instantâneo e diferido, que são justamente os comportamentos almejados no modelo proposto dessa tese. Também será apresentado alguns estudos que consideraram leis elastoplástica-viscoplástica no comportamento do maciço.

O **capítulo 5** descreve o modelo teórico que será implementado esclarecendo as principais hipóteses e explicando as leis constitutivas que serão adotadas (elástica, elastoplástica e viscoplástica) da forma mais genérica possível e em separado. No final desse capítulo é descrito então o modelo constitutivo acoplado elastoplástico-viscoplástico que será desenvolvido nessa tese.

O **capítulo 6** se refere a solução numérica do modelo teórico que se pretende implementar. Portanto, descreve a discretização espacial em elementos finitos, incluindo os elementos que serão utilizados, o método de solução do sistema não linear e o algoritmo de integração das leis constitutivas. Esse algoritmo é um dos principais focos do trabalho, uma vez que nele será feita a junção entre o modelo elastoplástico (instantâneo) e o viscoplástico (diferido). Também nesse capítulo é apresentado as malhas propostas para as análises de túneis profundos (estado plano de deformação, tridimensional e axissimétrico) bem como as condições de contorno utilizadas e a descrição do processo de escavação e colocação do revestimento pelo método da ativação e desativação de elementos.

O **capítulo 7** tem o intuito de mostrar algumas validações do programa até então implementado, primeiramente apresentando alguns testes genéricos demonstrando a correta aplicação as condições de contorno e posteriormente a comparação com a solução analítica para túneis profundos elastoplásticos-viscoplásticos desenvolvida por Piepi (1995). Essa validação é apenas parcial, uma vez que essa solução considera o comportamento elastoplástico-viscoplástico perfeito associado obedecendo apenas ao critério de Tresca. Contudo, é importante para demonstrar que o algoritmo acoplado está funcionando.

Por fim, o **capítulo 8** faz o fechamento do presente texto de qualificação apresentando algumas conclusões preliminares, perspectivas e cronograma.

2 DIRETRIZES DA PESQUISA

2.1 TEMA

O tema dessa tese é o estudo das deformações induzidas pelo processo construtivo de túneis profundos em maciços que apresentam comportamento instantâneo e diferido no tempo.

2.2 METODOLOGIA

A metodologia consiste em uma **abordagem teórica** derivada da mecânica do contínuo cuja solução será obtida de forma **numérica** através do **método dos elementos finitos**.

2.3 OBJETIVOS

O **objetivo principal** desta pesquisa consiste em formular e programar um modelo constitutivo elastoplástico-viscoplástico para analisar as deformações instantâneas e diferidas induzidas pelo processo de escavação em túneis profundos, incorporando a interação tridimensional entre o maciço e o revestimento.

Como **objetivos secundários** têm-se:

- a) desenvolvimento de um *software* em *Fortran90* baseado no método dos elementos finitos capaz de fazer análises tridimensionais considerando as etapas construtivas;
- b) generalizar esse *software* para análises em estado plano de deformações e axissimetria, uma vez que essas análises são rápidas, do ponto de vista computacional, e comuns em diversos estudos na literatura;
- c) formular um algoritmo de integração das leis constitutivas capaz de lidar conjuntamente com o comportamento diferido e instantâneo do maciço;
- d) incorporar diversas leis de comportamento (elásticas, elastoplásticas, viscoplásticas e elastoplásticas-viscoplásticas) no *software* para verificações e validações;
- e) verificar o *software* com problemas mais simples utilizando o GEOMECH91 e o

ANSYS;

- f) calibração do *software* com ensaios reais e validação com estudos de casos envolvendo túneis profundos que constam na literatura.

2.4 DELIMITAÇÕES

Os túneis podem sofrer influência da superfície como, por exemplo, deformações adicionais devido às cargas superficiais, e, inclusive, intervirem nelas e suas estruturas através de recalques superficiais ocasionados pela execução do túnel. Contudo, apesar da generalidade dos modelos desenvolvidos no presente trabalho, será dado enfoque nos túneis profundos e, portanto, **não é considerada a influência de estruturas superficiais ou recalques na superfície induzidos pela escavação.**

Embora o maciço em que um túnel está imerso possa apresentar descontinuidades, em muitos casos, seu comportamento global pode ser simulado efetivamente como um **meio contínuo**. Apesar do comportamento complexo do maciço, que é função também de diversas propriedades que variam espacialmente, nesse trabalho é considerado um **maciço homogêneo e isotrópico**. Em vista disso, o **maciço é considerado monofásico** com seu comportamento instantâneo e diferido **modelado fenomenologicamente através de uma lei reológica** elástica, elastoplástica, viscoplástica e elastoplástica-viscoplástica, **não considerando, portanto, outras abordagens, como por exemplo, as da poromecânica e as que tratam da influência do fluxo de água.**

É também sabido que, em geral, o estado de tensões internas de um maciço é extremamente complexo, devido a movimentos tectônicos, descontinuidades e heterogeneidades. Em busca de generalidade do *software* nesse sentido, almejando também análises de casos reais, é implementado um **estado anisotrópico de tensões iniciais**. Além disso, as análises iniciam de **uma configuração de referência indeformada**.

Como é visto no Capítulo 4, a velocidade de escavação e colocação do revestimento é uma variável importante quando se tem fenômenos diferidos no tempo. Essa velocidade depende de diversos fatores relacionados à dificuldade de escavação do maciço e ao cronograma de execução da obra. Contudo, nesse trabalho, apesar da generalidade, diferentemente da prática usual de execução de túneis, **a velocidade de avanço da face de escavação é considerada constante.**

Apesar de um túnel poder atravessar um perfil litológico heterogêneo, o que pode exigir um revestimento e técnicas de pré-suporte especializados para cada região, no presente estudo, o **revestimento consiste em um modelo único de espessura constante** (sem distinção entre revestimento primário e secundário) ao longo de todo o eixo longitudinal do túnel.

Na realidade, principalmente em escavações não mecanizadas, é comum a frente de escavação apresentar parcializações a fim de estabilizar ou diminuir as deformações dessa zona. Apesar disso, nesse trabalho a **escavação é feita à seção plena, plana e vertical sem considerar qualquer técnica ou elemento de pré-suporte.**

Os modelos incorporados no programa são: **elástico, elastoplástico, viscoplástico e elastoplástico-viscoplástico.** Está implementados para o maciço os modelos clássicos elastoplásticos (von-Mises, Drucker-Prager, Tresca e Mohr-Coulomb) e o modelo viscoplástico de Perzyna (1966) com as mesmas superfícies de escoamento do modelo elastoplástico, contudo, não necessariamente com os mesmos parâmetros. **Para o revestimento é utilizado o modelo elástico linear.**

A evolução das deformações se dá de forma **quase-estática** e, portanto, não são considerados termos inerciais (densidade e aceleração) ou excitações dinâmicas (como seria, por exemplo, em uma análise considerando terremotos e explosões). Além disso, é considerada a **hipótese das pequenas perturbações.**

2.5 DELINEAMENTO

O trabalho foi realizado através das seguintes etapas:

- a) pesquisa bibliográfica sobre túneis e o tema da tese;
- b) pesquisa bibliográfica sobre os modelos constitutivos elastoplásticos e viscoplásticos que foram implementados;
- c) pesquisa bibliográfica sobre a solução do problema no contexto de elementos finitos;
- d) desenvolvimento do *software* de elementos finitos;
- e) verificação do *software* com soluções analíticas, GEOMECH91 e ANSYS;
- f) validação do modelo em estudos de casos que constam na literatura;
- g) estudo da diferença entre considerar o modelo elastoplástico-viscoplástico em relação a outros modelos mais simples.

O organograma da Figura 2.1 ilustra a relação entre as etapas durante o trabalho.

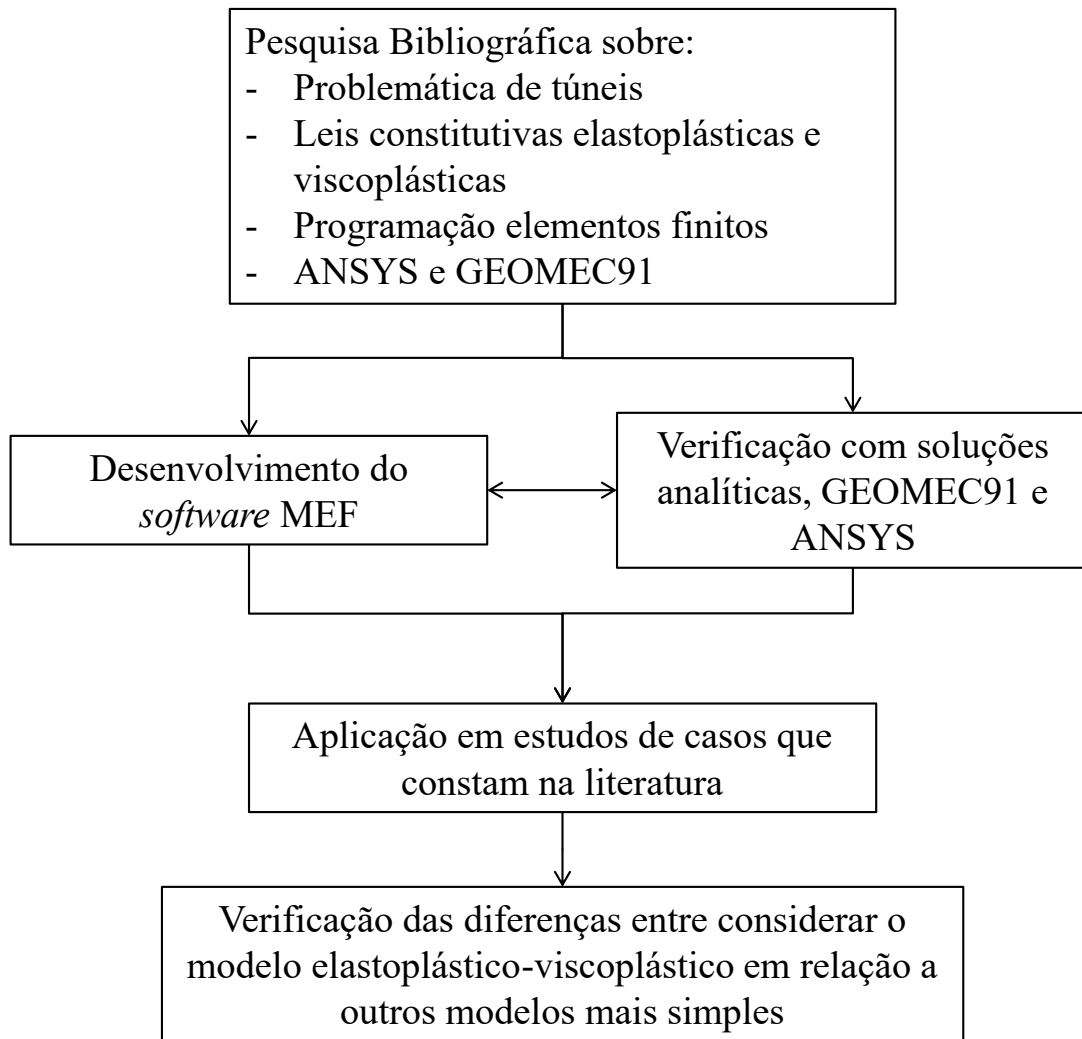


Figura 2.1 – Organograma das etapas da pesquisa

3 ESTADO DA ARTE

3.1 MÉTODOS DE ESCAVAÇÃO

Há diversas formas de se executar túneis, tanto profundos quanto superficiais. Durante a escolha do método de escavação, o engenheiro deve levar em conta diversos fatores, tais como: geometria da seção, comprimento do túnel, condições geológicas, nível da água, restrições quanto às vibrações, estabilidade da cavidade, riscos de assentamentos superficiais, hipóteses de projeto, segurança dos operários, viabilidade ambiental e econômica. Em vista dessa complexidade é possível utilizar mais de um método de escavação ao longo do eixo do túnel. A Figura 3.1 resume os principais métodos de escavação.

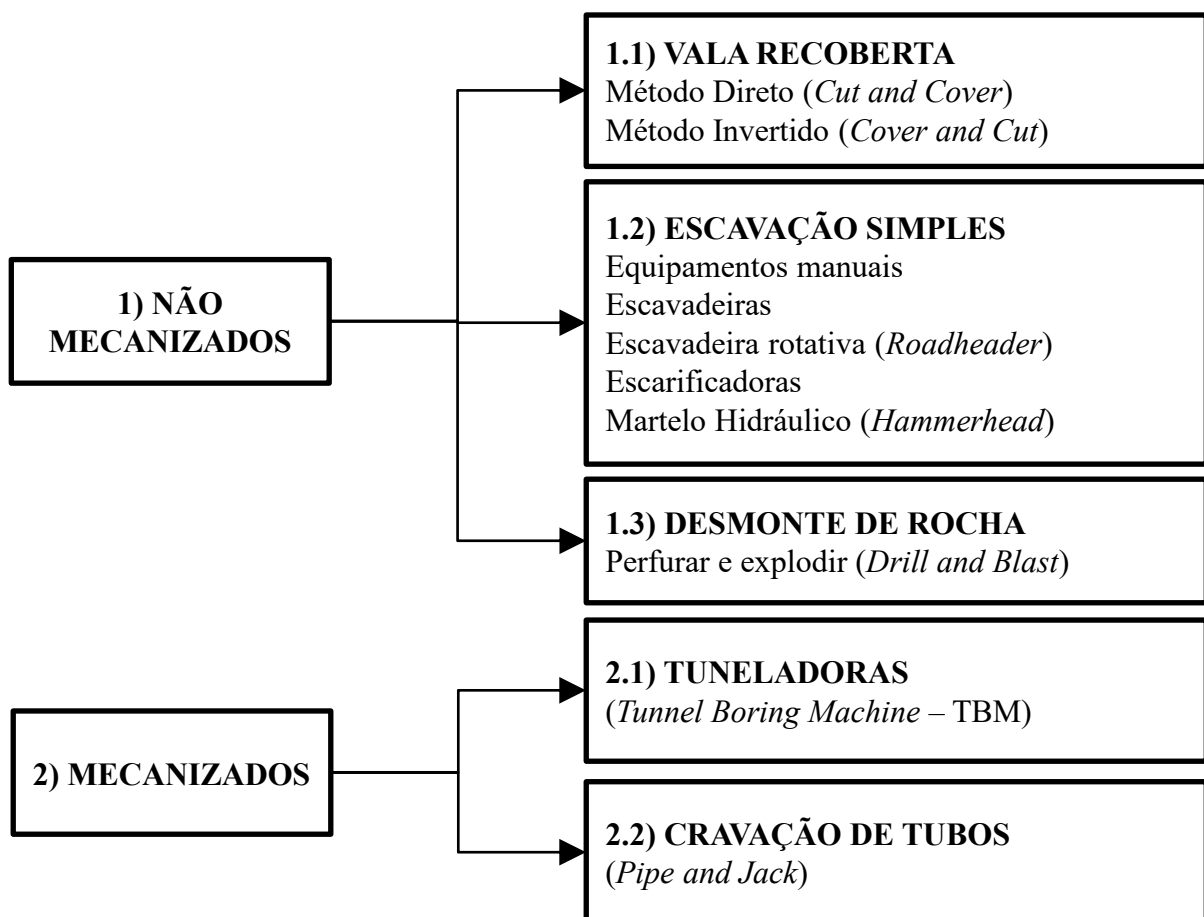


Figura 3.1 – Métodos de escavação de túneis

Os métodos se dividem em dois grandes grupos: 1) não mecanizados (convencionais) e 2) mecanizados. A diferença é que este último é caracterizado pela presença de tuneladoras,

que são máquinas especializadas em adentrar a frente de escavação. Os métodos ditos “não mecanizados”, não possuem essas máquinas especializadas, e podem ser agrupados em: vala recoberta, escavação simples e desmonte de rocha.

3.1.1 Vala recoberta

O método da vala recoberta é utilizado preferencialmente para túneis superficiais (conhecido também, nas cidades, como método a céu aberto). Pode ser executado de duas formas: direta (*Cut and Cover*) ou invertida (*Cover and Cut*). A Figura 3.2 e Figura 3.3 ilustram esse método.

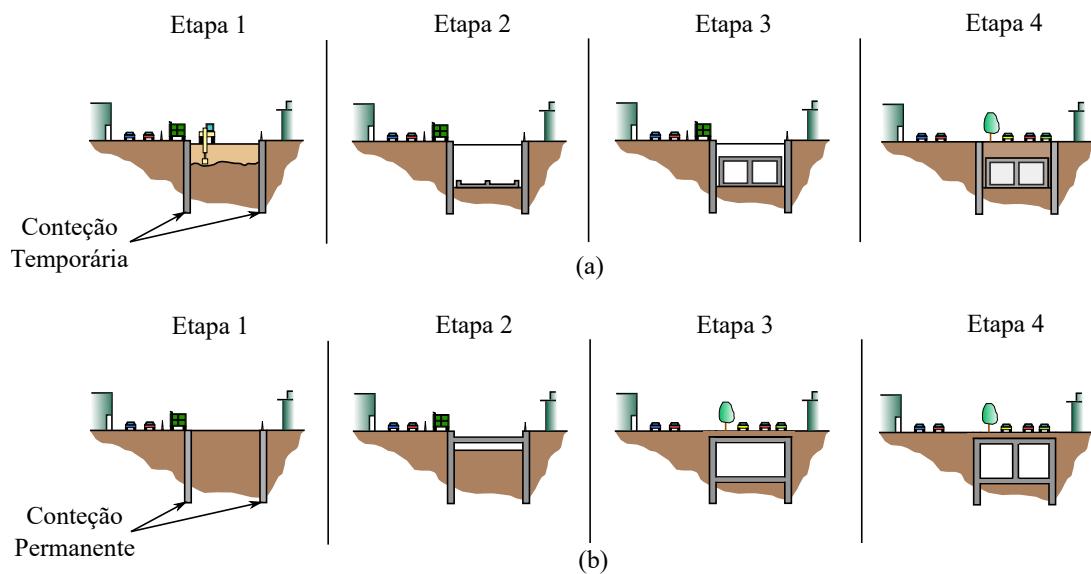


Figura 3.2 – (a) *Cut and Cover* e (b) *Cover and Cut* (adaptado de: FEDERAL HIGHWAY ADMINISTRATION (U.S.) (2009, p. 5-2))



Figura 3.3 – Etapa de execução pelo método de vala recoberta direta no projeto *Nordhavnsvej*, em Copenhague, Dinamarca (fonte: ROADTRAFFIC-TECHNOLOGY (2017, p. 1))

Como o presente trabalho está delimitado aos túneis profundos esse método de escavação estará fora do escopo desta tese. Além disso, o comportamento mecânico desse tipo de túnel é diverso dos profundos que, tal como será visto no Capítulo 4, mobilizam a resistência do maciço na estabilidade da cavidade.

3.1.2 Escavação simples

A escavação simples é o método que permite maior flexibilidade quanto à geometria da seção e é ideal para escavar galerias de formatos complexos, como por exemplo, estações e conexões. Essa escavação pode ser feita com uma combinação de ferramentas que vão desde manuais até equipamentos mecânicos, como escavadeira simples, escavadeira rotativa (*Roadheader*), escarificador e martelo hidráulico (*Hammerhead*) (Figura 3.4). A produtividade desse método varia, mas dificilmente ultrapassa 10m/dia de avanço.



Figura 3.4 – Superior à esquerda: escavadeiras (fonte: Pierrat (2014, p. 1)); superior à direita: escarificadora; inferior à esquerda: escavadeira rotativa (fonte: Mitterndorfer (2013, p. 1)) e inferior à direita: martelo hidráulico (fonte: WORD HIGHWAYS (2015, p. 1))

3.1.3 Desmonte de rocha

Quando há dificuldade de penetração no maciço, é necessário utilizar o método de perfuração e detonação, que consiste em perfurar, instalar o material explosivo e detonar a frente de escavação.

O ciclo desse tipo de escavação é ilustrado na Figura 3.5 e Figura 3.6.

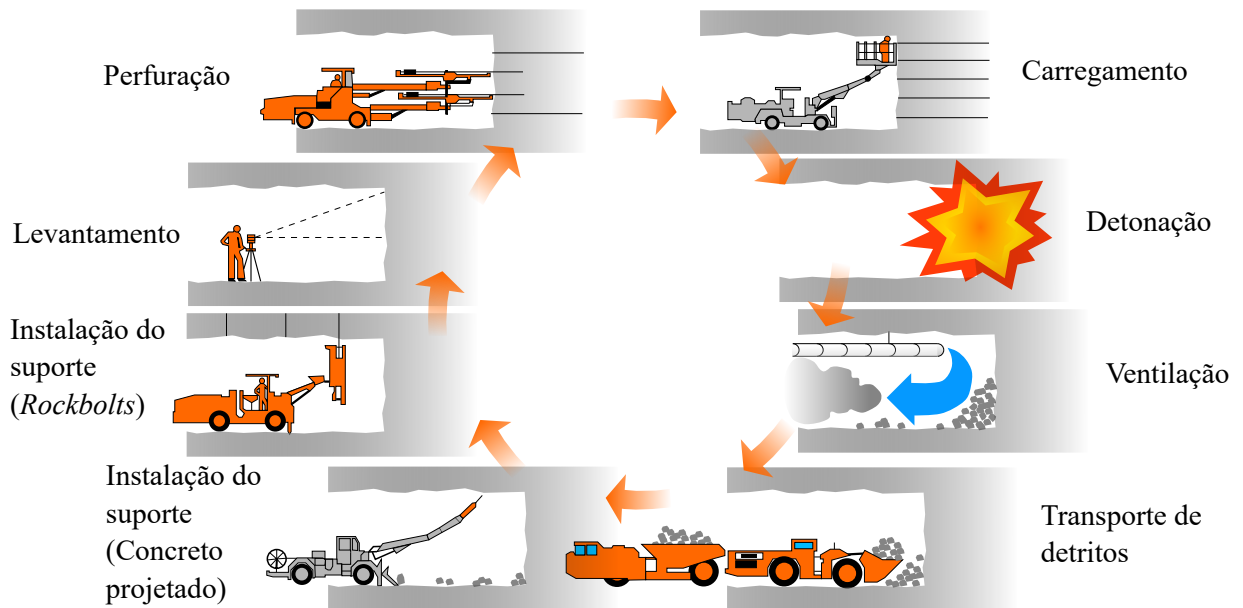


Figura 3.5 – Sequência executiva do método de construção por desmonte de rocha (adaptado de: Heiniö (1999, p. 215))



Figura 3.6 – Superior à esquerda: perfuração; inferior à esquerda: instalação das cargas; à direita: frente de escavação após detonação (fonte: Grad (2013, p. 1))

3.1.4 Tuneladora

As tuneladoras, tal como ilustrada na Figura 3.7, nada mais são do que a evolução do método de escavação com plataformas de Marc Brunel desenvolvido em 1843 (durante a construção do túnel subfluvial sob o Tâmesa em Londres). Hoje em dia, essa escavação é totalmente mecanizada e possui excelente regularidade da superfície escavada. A produtividade depende de vários fatores

(diâmetro da seção do túnel, condições do maciço, potência e tamanho da máquina, projeto de suporte, experiência das equipes) e pode atingir até 20m/dia (BROX, 2017, p. 98). Geralmente possuem maquinário acoplado para executar o revestimento em concreto projetado ou anéis de concreto pré-moldados. Quando o maciço a ser escavado é pouco resistente é utilizado um escudo (*Shield*) ou lama sob pressão imediatamente anterior à frente de escavação para evitar o colapso da cavidade. As principais desvantagens são o custo e a dificuldade de transporte da máquina.

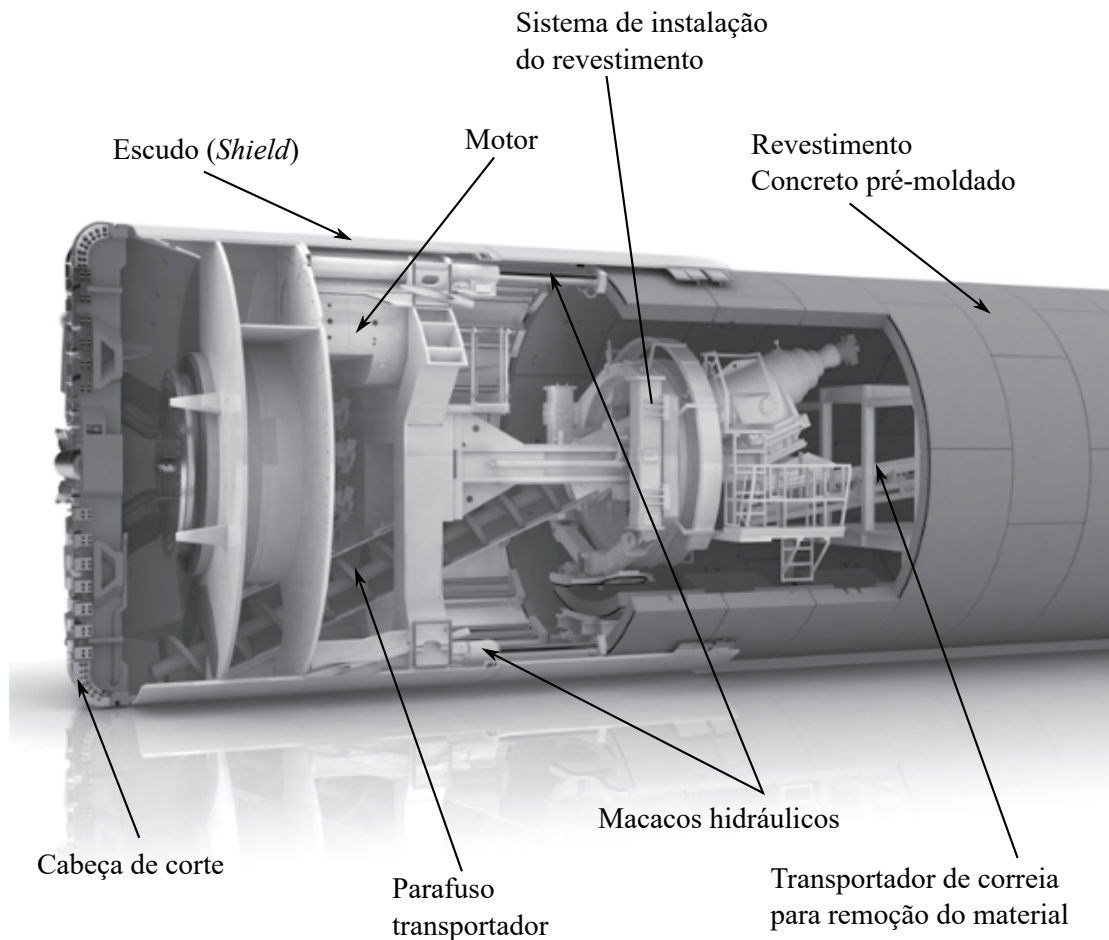


Figura 3.7 – Representação 3D de uma tuneladora (adaptado de: Chapman, Metje e Stärk (2018, p. 151))

3.1.5 Cravação de tubos

Por fim, o método mecanizado de cravação de tubos consiste em conectar dois poços cravando tubos com auxílio de macacos hidráulicos, uma parede de reação e uma pequena tuneladora (com ou sem escudo). Esse método é comum quando se tem poucas distâncias a vencer, túneis superficiais e solos brandos. São, portanto, preferencialmente utilizados em obras de fornecimento de água, esgoto, eletricidade e gás nos centros urbanos. A Figura 3.8 e Figura 3.9 ilustram esse método de escavação.

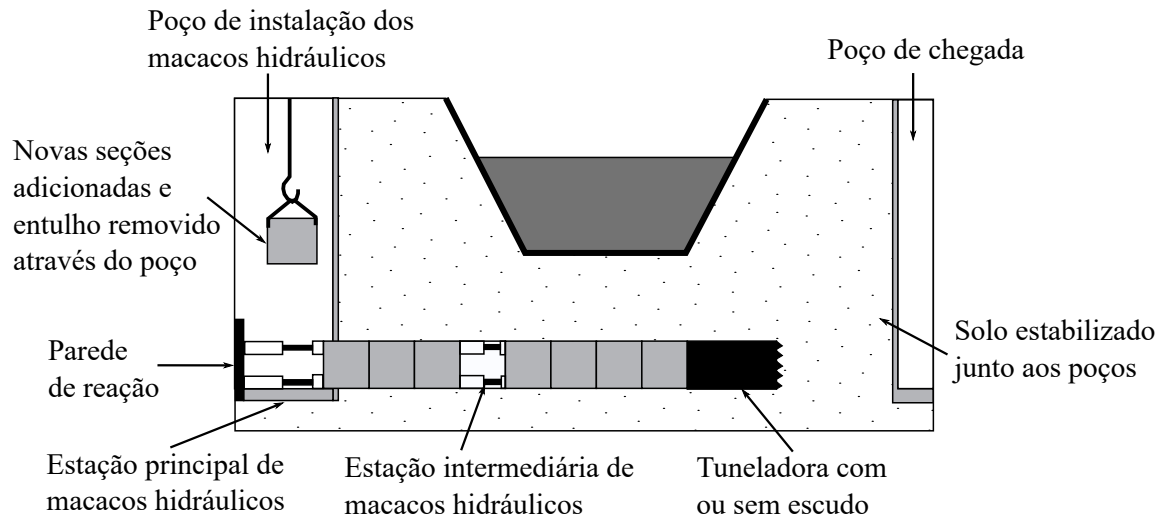


Figura 3.8 – Ilustração do método de cravação de tubos sob um canal (adaptado de: Chapman, Metje e Stärk (2018, p. 227))



Figura 3.9 – À esquerda: vista de cima de um poço de macacos hidráulicos com a descida da TBM; à direita: vista frontal do túnel (fonte: Chapman, Metje e Stärk (2018, p. 227))

Como este trabalho está delimitado aos túneis profundos, esse método de escavação estará fora do escopo dessa tese. Apesar de mobilizar a resistência do maciço possui condições de contorno bem diversas de túneis profundos.

3.2 PRÉ-SUPORTES

3.3 REVESTIMENTO DE TÚNEIS

3.4 PRINCIPAIS ASPECTOS CONSIDERADOS EM ESTUDOS NUMÉRICOS RECENTES DE TÚNEIS

4 COMPORTAMENTO MECÂNICO DE TÚNEIS

4.1 INFLUÊNCIA DA ESCAVAÇÃO E O CONCEITO DE CONVERGÊNCIA

4.2 MECANISMOS DE RUPTURA EM TÚNEIS PROFUNDOS

4.3 INFLUÊNCIA DA REOLOGIA DO MACIÇO

4.3.1 Comportamento instantâneo

4.3.2 Comportamento diferido no tempo

4.3.3 Alguns estudos considerando leis elastoplásticas e viscoplásticas

4.4 INFLUÊNCIA DA FORMA DA SEÇÃO

4.5 INFLUÊNCIA DA PROFUNDIDADE DO TÚNEL

4.6 INFLUÊNCIA DA PROXIMIDADE DA SUPERFÍCIE

4.7 INFLUÊNCIA DO REVESTIMENTO E PARÂMETROS ADIMENSIONAIS

4.8 MÉTODO CONVERGÊNCIA-CONFINAMENTO

5 MODELO MECÂNICO

- 5.1 EQUAÇÕES DE EQUILÍBRIO LOCAL E A HIPÓTESE DA EVOLUÇÃO QUASE ESTÁTICA
- 5.2 ADMISSIBILIDADE ESTÁTICA, NATUREZA EULERIANA DO CAMPO DE TENSÕES, TRANSFORMAÇÃO GEOMÉTRICA E MEDIDA DE DEFORMAÇÃO
- 5.3 HIPÓTESE DAS PEQUENAS PERTURBAÇÕES E A DESCRIÇÃO LAGRANGEANA
- 5.4 MODELO CONSTITUTIVO ELÁSTICO
- 5.5 MODELO CONSTITUTIVO ELASTOPLÁSTICO
- 5.6 MODELO CONSTITUTIVO VISCOPLÁSTICO
- 5.7 MODELO CONSTITUTIVO ELASTOPLÁSTICO-VISCOPLÁSTICO

6 SOLUÇÃO DO MODELO MECÂNICO

6.1 FORMA FRACA DAS EQUAÇÕES DE CAMPO

6.2 NOTAÇÃO DE VOIGT

6.3 DISCRETIZAÇÃO ESPACIAL EM ELEMENTOS FINITOS

6.4 SOLUÇÃO DO SISTEMA E DISCRETIZAÇÃO TEMPORAL

6.5 ALGORITMO DE ATUALIZAÇÃO DAS TENSÕES E VARIÁVEIS INTERNAS

6.5.1 Integração das equações constitutivas elastoplásticas

6.5.1.1 Esquema de integração totalmente implícito

6.5.1.2 Esquema de integração semi-implícito

6.5.2 Atualização do módulo constitutivo

6.5.3 Particularizando para estado plano de deformações e axissimetria

6.5.4 Domínios, discretização, condições de contorno e ciclo construtivo para os modelos de verificação

REFERÊNCIAS

- BARLA, G.; BONINI, M.; DEBERNARDI, D. Time dependent deformations in squeezing tunnels. **International Journal of Geoengineering Case Histories**, v. 2, n. 1, p. 40–65, 2010. Disponível em: <<http://dx.doi.org/10.4417/IJGCH-02-01-03>>. Acesso em: 09 mar. 2021. Citado 2 vezes nas páginas 11 e 20.
- BROX, D. **Practical Guide to Rock Tunneling**. London: CRC Press Taylor e Francis Group, 2017. 274 p. ISBN 9781315210117. Citado na página 31.
- CHAPMAN, D.; METJE, N.; STÄRK, A. **Introduction to tunnel construction**. 2. ed. Boca Raton: CRC Press Taylor e Francis Group, 2018. ISBN 9781315120164. Citado 3 vezes nas páginas 11, 31 e 32.
- FEDERAL HIGHWAY ADMINISTRATION (U.S.). **Technical Manual for Design and Construction of Road Tunnels — Civil Elements**. Fhwa-nhi-1. Books Express Publishing, 2009. 702 p. ISBN 1782661727. Disponível em: <https://www.fhwa.dot.gov/bridge/Tunnel/pub/s/nhi09010/tunnel_manual.pdf>. Acesso em: 09 mar. 2021. Citado 2 vezes nas páginas 11 e 28.
- GRAD, P. **Pioneering drill+blast work in Hong Kong - TunnelTalk**. 2013. 1 p. Disponível em: <<https://www.tunneltalk.com/Hong-Kong-4Dec2013-Pioneering-double-deck-blasting-method-for-successful-South-Island-Line-drill-blast-excavation.php>>. Acesso em: 10 mar. 2021. Citado 2 vezes nas páginas 11 e 30.
- HEINIÖ, M. **Rock Excavation Handbook**. [S.l.]: Sandvik Tamrock, 1999. 364 p. Citado 2 vezes nas páginas 11 e 30.
- MANCHAO, H.; Leal e Sousa, R.; MÜLLER, A.; VARGAS, E.; Ribeiro e Sousa, L.; XIN, C. Analysis of excessive deformations in tunnels for safety evaluation. **Tunnelling and Underground Space Technology**, Elsevier Ltd, v. 45, p. 190–202, jan 2015. ISSN 08867798. Disponível em: <<http://dx.doi.org/10.1016/j.tust.2014.09.006>>. Acesso em: 09 mar. 2021. Citado 2 vezes nas páginas 11 e 20.
- MITTERNDORFER, K. H. **Roadheaders in Tunneling - Tunnel Business Magazine**. 2013. 1 p. Disponível em: <<http://tunnelingonline.com/roadheaders-tunneling/>>. Acesso em: 03 mar. 2021. Citado 2 vezes nas páginas 11 e 29.
- PIERRAT, C. **Las excavadoras sobre cadenas Liebherr R 944 C Tunnel impulsan el proyecto ferroviario «Stuttgart-Ulm»**. 2014. 1 p. Disponível em: <<https://www.liebherr.com/es/deu/actualidad/noticias-y-comunicados-de-prensa/detalle/las-excavadoras-sobre-cadenas-liebherr-r-944-c-tunnel-impulsan-el-proyecto-ferroviario-T1\guillemotleftstuttgart-ulm\T1\guillemotright.html>>. Acesso em: 03 mar. 2021. Citado 2 vezes nas páginas 11 e 29.
- RAMONI, M.; ANAGNOSTOU, G. Thrust force requirements for TBMs in squeezing ground. **Tunnelling and Underground Space Technology**, Elsevier Ltd, v. 25, n. 4, p. 433–455, 2010. ISSN 08867798. Disponível em: <<http://dx.doi.org/10.1016/j.tust.2010.02.008>>. Acesso em: 09 mar. 2021. Citado na página 21.

_____. Tunnel boring machines under squeezing conditions. **Tunnelling and Underground Space Technology**, v. 25, n. 2, p. 139–157, 2010. ISSN 08867798. Disponível em: <<https://doi.org/10.1016/j.tust.2009.10.003>>. Acesso em: 09 mar. 2021. Citado na página 21.

ROADTRAFFIC-TECHNOLOGY. **Nordhavnsvej (Northern Harbour Link) Project, Copenhagen - Verdict Traffic**. 2017. Disponível em: <<https://www.roadtraffic-technology.com/projects/nordhavnsvej-northern-harbour-link-project-copenhagen/>>. Acesso em: 09 mar. 2021. Citado 2 vezes nas páginas 11 e 28.

WORD HIGHWAYS. **Improving tunneling method selection**. 2015. 1 p. Disponível em: <<https://www.worldhighways.com/wh10/feature/improving-tunneling-method-selection>>. Acesso em: 09 mar. 2021. Citado 2 vezes nas páginas 11 e 29.